

УДК 62 242

**Пластическая деформация пружинных сталь при волочении/ Г. А. Околович, В. И. Левков, Е. В. Петрова// Вісник НТУ «ХПІ». Серія: Нові рішення в сучасних технологіях. – Х: НТУ «ХПІ», – 2012. - № 66 (972). – С. 37-41. – Бібліогр.:2 назв.**

Розроблена технологія виготовлення сталевих поршневих кілець методом хо-лодної пластичної деформації при волоченні. Визначені режими термічної обробки при рекристалізаціонном відпустці, термофіксації і термостабілізації. Виконано розрахунок ступеня пластичної деформації при волоченні. Промислові випробування кілець показали підвищення експлуатаційної стійкості в 1,5..2,0 рази порівняно з чавунними кільцями.

**Ключові слова:** сталеві поршневі кільця, волочіння; деформація, термічна обробка, рекристалізація, термостабілізація, термофіксація, полігонізація, дислокація.

The manufacturing techniques of steel piston rings are developed by a method of a cold plastic deformation at drawing. Modes of thermal processing are defined at recrystallisation holiday, thermofixing and thermostabilization. Calculation of degree of plastic deformation at drawing is executed. Industrial tests of rings have shown increase of operational firmness in 1,5..2,0 times in comparison with pig-iron rings.

**Keywords:** steel piston rings, drawing, deformation, thermal processing, recrystallisation, thermostabilization, thermofixing, poligonizaciya, disposition.

## УДК 621.646.42

**Г. А. КРУТИКОВ,** д-р техн. наук, проф., НТУ "ХПИ";

**М. Г. СТРИЖАК,** аспирант, НТУ "ХПИ"

## ОПРЕДЕЛЕНИЕ ОБЛАСТИ РАЦИОНАЛЬНОГО ИСПОЛЬЗОВАНИЯ ЭЛЕКТРОПНЕВМАТИЧЕСКОГО ПРЕОБРАЗОВАТЕЛЯ

В статье получена универсальная математическая модель, отражающая совместное функционирование пневмопривода и редукционного клапана, проведены расчёты для приводов, где установлен редукционный клапан с пружинным и с электрическим управлением.

**Ключевые слова:** редукционный клапан, пропорциональное управление, машина точечной сварки, математическая модель

### Введение.

Установка редукционного клапана (РК) в прижимных пневмоприводах, несмотря на отрицательное влияние на быстродействие пневмопривода, необходима для изменения в широких пределах усилия прижима привода, а также ввиду достаточно высоких требований к стабильности усилия прижима.

**Цель исследования, постановка проблемы.** Использование РК с электрическим управлением вместо традиционно используемых РК с пружинным управлением позволяет повысить быстродействие клапана. Улучшение пропускной способности существующих РК с пружинным управлением за счет жесткости пружины, условного прохода клапана, увеличения эффективной площади мембранны приводит к ухудшению устойчивости РК и, при работе в прижимных пневмоприводах это, в свою очередь, приводит к ярко выраженным колебательным процессам подвижных частей РК, снижающим долговечность и надежность работы мембрально-клапанного узла. Эффект от замены РК с пружинным управлением на РК с электроуправлением будет различным при разных условиях функционирования РК. Экспериментальное определение условий наиболее эффективного использования РК с электроуправлением является весьма трудоемким из-за большого числа параметров привода, определяющих эти условия.

Решение этой задачи возможно путем аналитического исследования

© Г. А. КРУТИКОВ, М. Г. СТРИЖАК, 2012

математической модели пневмопривода с РК. Причем для сокращения числа параметров системы уравнений необходим переход к безразмерной форме, позволяющей охватить при расчете целую группу однотипных по динамическим свойствам приводов.

При переходе к безразмерной форме целесообразно использовать методику нормирования нелинейных дифференциальных уравнений, изложенную в работах [1, 2], согласно которой число критериев подобия становится минимальным, а форма записи уравнений наиболее простой.

**Материалы исследований.** Расчетная схема пневмопривода, где установлен РК с электроуправлением, приведена на рис. 1.

Математическая модель в безразмерном виде, отражающая совместное функционирование пневмопривода и РК, представляет собой систему следующих нелинейных дифференциальных уравнений (1) [1].

Уравнения (1) – (6) описывают изменение безразмерного давления  $\sigma_1$  в проточной полости на выходе РК, безразмерной температуры  $\theta_1$  в той же полости безразмерного давления  $\sigma_a$  в глухой надмембранный камере и  $\sigma_a$  в проточной надмембранный камере, безразмерной высоты  $\gamma_1$  проточной надмембранный камеры, а также безразмерной скорости  $S_1$  клапанно-мембранного блока. Уравнения (7) – (10) описывают в безразмерной форме работу двустороннего пневмопривода.

1.  $\frac{d\sigma_1}{d\tau} = \frac{k}{\rho_1} \left[ (1 - \gamma_1) \sigma_m \varphi(\sigma_m, \sigma_1) - \sigma_1 \eta_1 q_1 \varphi(\sigma_1, \sigma_e) + \eta_2 \sqrt{\theta_1} \sigma_1 \frac{d\gamma_1}{d\tau} \right];$
2.  $\frac{d\theta_1}{d\tau} = \frac{\theta_1}{\sigma_1} \frac{d\sigma_1}{d\tau} - \frac{\theta_1^2}{\sigma_1 \rho_1} \left[ \sigma_1 (1 - \gamma_1) \varphi(\sigma_m, \sigma_1) - \sigma_1 \eta_1 q_2 \varphi(\sigma_1, \sigma_m) - \eta_2 \frac{\sigma_1}{\sqrt{\theta_1}} \varphi(\sigma_1, \sigma_e) \right];$
3.  $\frac{d\sigma_2}{d\tau} = \frac{k}{\gamma_1} \left[ \text{sign}(\sigma_a - \sigma_m) \sigma_m - \text{sign}(\sigma_a - \sigma_2) \eta_1 q_2 \varphi(\sigma_a, \sigma_2) - \sigma_2 \frac{d\gamma_1}{d\tau} \right];$
4.  $\frac{d\sigma_a}{d\tau} = \frac{k}{\delta + 1 - \gamma_1} \left[ \sigma_m \varphi(\sigma_m, \sigma_a) - \sigma_a \sqrt{\theta_a} \eta_3 \varphi(\sigma_a, \sigma_e) - \text{sign}(\sigma_a - \sigma_e) \sigma_a \eta_2 q_1 \varphi(\sigma_a, \sigma_e) \right];$
5.  $\frac{d\gamma_1}{d\tau} = S_1;$
6.  $\frac{dS_1}{d\tau} = \frac{1}{\beta} \left[ \Pi_p (\sigma_m - \sigma_1) + \sigma_2 - \sigma_a + \chi_p \right] - 2\xi\omega S_1 + \omega^2 (1 - \gamma_1);$
7.  $\frac{d\sigma_4}{d\tau} = \frac{k}{1 + \gamma_{20} - \gamma_2} \left[ \sigma_4 \frac{d\gamma_2}{d\tau} - \frac{\sigma_5^{1.14}}{\Pi} \Omega \varphi(\sigma_4, \sigma_5) \right];$
8.  $\frac{d\sigma_5}{d\tau} = \frac{k}{\gamma_{20} + \gamma_2} \left[ \sqrt{\theta_1} \sigma_1 \varphi(\sigma_1, \sigma_5) - \sigma_5 \frac{d\gamma_2}{d\tau} \right];$
9.  $\frac{d\gamma_2}{d\tau} = S_2;$
10.  $\frac{dS_2}{d\tau} = \frac{1}{\beta_1} [\sigma_4 - \Pi \sigma_5 + \chi].$

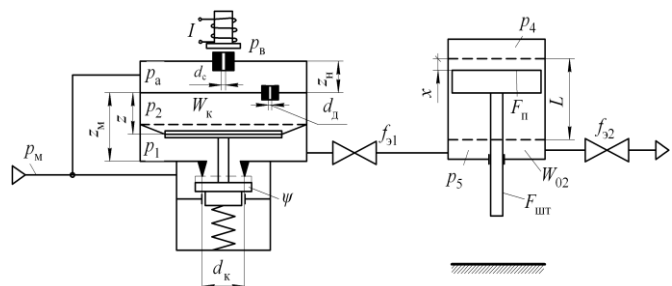


Рис. 1 – Расчётная схема пневматического привода с РК

В уравнениях (1 – 10)  $\varphi(A, B)$  – расходная функция ( $A = \sigma_a, \sigma_1, \dots$ ,  $B = \sigma_1, \sigma_2, \dots$ ):

$$\varphi(A, B) = \begin{cases} \sqrt{\frac{2[(B/A)^{1.43} - (B/A)^{1.73}]}{k-1}}, & \text{если } A \geq B \text{ и } \frac{B}{A} \geq 0,528; \\ \sqrt{\frac{2[(A/B)^{1.43} - (A/B)^{1.73}]}{k-1}}, & \text{если } A < B \text{ и } \frac{A}{B} \geq 0,528; \\ 0,258, & \text{если } \frac{B}{A} \text{ и } \frac{A}{B} < 0,528. \end{cases}$$

Для моделирования на ЭВМ существенно нелинейных характеристик глухих камер с квадратичными дросселями вводятся переменные  $q_1$ ,  $q'_1$  и  $q_2$ :

$$\begin{aligned} q_1 &= \sigma_1 \sqrt{\theta_1}, \text{ если } \sigma_1 \geq \sigma_2; \\ q_1 &= (\sigma_2^2 \sigma_{2M}^{-1})^{\frac{k-1}{2k}} \sqrt{\theta_{2M}}, \text{ если } \sigma_1 < \sigma_2; \\ q'_1 &= \sigma_a \sqrt{\theta_a}, \text{ если } \sigma_a < \sigma_e (\theta_e = 1); \\ q'_1 &= (\sigma_a^2 \sigma_{am}^{-1})^{\frac{k-1}{2k}} \sqrt{\theta_{am}}, \text{ если } \sigma_a < \sigma_e; \\ q_2 &= \sigma_1 \sqrt{\theta_1}, \text{ если } \sigma_1 \geq \sigma_2; \\ q_2 &= (\sigma_2)^{\frac{k-1}{2k}} \sigma_{2M} (\theta_{2M})^{-0.5}, \text{ если } \sigma_1 < \sigma_2, \end{aligned}$$

где  $\sigma_{2M}$ ,  $\sigma_{am}$ ,  $\theta_{2M}$  и  $\theta_{am}$  – безразмерное давление и температура соответственно в нижней и верхней надмембранных камерах в момент изменения знака расхода через дроссель.

При истечении воздуха из надмембранный и подмембранный камер принят адиабатический закон.

Базовая единица времени для РК равна  $t_0 = \frac{W_0}{\mu_k \cdot \pi \cdot d_k \cdot z_h \cdot a_0}$ , где  $W_0 = F \cdot z_h$ ;  $F$  – эффективная площадь мембраны;  $z_h$  – базовая единица перемещения (высота верхней надмембранный камеры);  $d_k$  – диаметр седла клапана;  $a_0$  – скорость звука при нормальных условиях;  $\gamma_1 = z / z_b$ ;  $\delta = z_h / z$ ;  $L$  – ход поршня;  $\eta_1 = \frac{f_k^3}{\mu_k \pi d_k z_k}$ ;  $\eta_2 = \frac{\mu_o f_o^3}{\mu_k \pi d_k z_k}$ ;  $\eta_3 = \frac{\mu f^3}{\mu_k \pi d_k z_k}$  – относительные эффективные площади клапанной щели, дросселей в глухую и проточную надмембранные камеры;  $\beta = \frac{m \cdot x_b}{t_0^2 \cdot F \cdot p_{16}}$  – критерий инерционности (безразмерная масса), численно равный отношению силы инерции при базовом ускорении  $(x_b / t_0^2)$  к максимальной силе, которую развивает поршень;  $\beta_1 = \frac{m_n \cdot L}{t_0^2 \cdot F_n \cdot p_{16}}$  – критерий инерционности пневмоцилиндра (безразмерная масса поршня).

$\omega$  и  $\xi$  – собственная частота и коэффициент демпфирования мембрально-клапанного блока;  $\rho_1 = W_0 / F \cdot z_h$  – относительный рабочий объем РК; в параметр  $\chi$ , кроме усилия предварительного поджатия подклапанной пружины входит сила сухого трения, которая при знакопеременной движущей силе моделировалась в виде составного логического оператора, учитывающего возможное прихватывание клапана трением.

В работе [1] используется критерий динамического подобия  $N = \frac{f_1^3 \cdot \sqrt{2 \cdot k / (k-1)}}{F_1} \cdot \sqrt{\frac{m \cdot R \cdot T_m}{p_m \cdot F_1 \cdot L}}$ , который не имеет такого ясного физического объяснения,

как параметр  $\beta_1$ , причем параметр  $\beta_1$  связан с  $N$  соотношением  $\beta_1 = \frac{N^2(k-1)}{2}$ .

Безразмерными параметрами отдельно взятого привода кроме параметра  $\beta_1$  являются:

$$\Omega = f_2^3 / f_1^3; \quad \chi = (\pm N_b - N_t - F_n p_a) / p_{10} F_w; \quad \Pi = (F_n - F_{wt}) / F_n; \quad \gamma_{01} = \frac{z_e}{z_b},$$

где  $N_b$  и  $N_t$  – сила тяжести подвижных частей привода (при вертикальном исполнении) и нагрузка на шток;  $F_{wt}$  – площадь штока.

При моделировании работы привода, где установлен РК с пружинным управлением, давление в надмембранный камере РК считалось постоянным и равным атмосферному. Условие равновесия клапанно-мембранного узла пружинного РК в безразмерном виде следующее:

$$\frac{dS_1}{d\tau} = \frac{1}{\beta_n} [\sigma_2 + \Pi_p (1 - \sigma_1) - 1 - \chi_p^1] - 2\xi_1 \omega_1 S_1 + \omega_1^2 (1 - \gamma_1),$$

где  $\chi_p^1 = F_t / (p_{10} F)$ ;  $\xi_1 = \frac{h}{2\sqrt{m(c_1 + c_2)}}$ ;  $\omega_1 = \sqrt{\frac{c_1 + c_2}{m}} t_{\delta 1}$ ;  $c_2$  – жесткость пружины управления.

**Результаты исследований.** По приведенным моделям был выполнен расчет на ЭВМ. На рис. 2 в качестве иллюстрации решения системы уравнений (1) приведены результаты расчётов на ЭВМ в размерном виде для привода, где установлен РК с пружинной (штриховые) и электрической (сплошные линии) нагрузками.

Сравнение численных решений для приводов с обоими типами РК показало.

1. Скорость нарастания давления в рабочей полости привода в подготовительном периоде значительно выше для случая, где установлен РК с электроуправлением. Это приводит к сокращению подготовительного периода.

2. Во время движения поршня давление за РК с пружинным управлением падает значительно ниже, чем давление за РК с электроуправлением. При этом в ряде случаев существенно возрастает скорость движения поршня при замене РК с

пружинным управлением на РК с электроуправлением.

3. При замене пружинного управления электрическим намного сокращается и время заключительного периода привода (время нарастания усилия на поршне).

4. Показано, что основные критерии подобия двухстороннего пневмопривода  $\beta_1$ ,  $\Omega$ ,  $\chi$  не могут полностью характеризовать условия функционирования РК при оценке эффекта от замены РК с пружинным управлением РК з пропорциональным электроуправлением, необходимо задаваться также параметрами нагрузки РК ( $\sigma_m$  и  $\sigma_b$ ).

Результаты расчетов на ЭВМ представлялись в виде зависимости транспортного и полного времени срабатывания привода от безразмерной массы  $\beta_1$ . Значение  $\Omega$

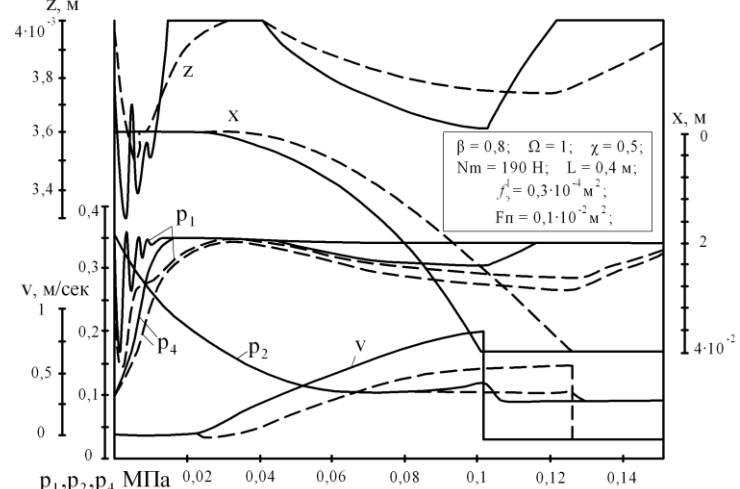


Рис. 2 – Результаты численного решения для пневмопривода машины точечной сварки, где установлены РК с пружинным (---) и электрическим (—) управлением при  $L = 0,4$  м;  $\beta_1 = 0,8$ ;  $\Omega = 1$

изменялось в пределах от 0,3 до 2; параметр  $\beta_1$  менялся в пределах от 0,1 до 5; параметр  $\chi$  – в пределах от 0 до 0,3; величина  $\sigma_m$  – от 3,5 до 1,4. Пружинный РК и РК с электроуправлением подобны по конструктивному параметру  $\beta_1$ , а также по параметрам  $\Pi$  и  $\eta_1$  ( $\beta_{\Pi}=0,035$ ;  $\eta_1=0,06$ ). Остальные параметры системы имели следующие значения:  $\xi_1=0,75$ ;  $\omega_1=0,2$  (пружинный вариант);  $\xi=5$ ;  $\omega=0,03$  (вариант с электроуправлением);  $\delta=0,5$ ;  $\eta_3=0,004$ ;  $\gamma_{10}=0,4$ ;  $\gamma_{20}=0,6$ ;  $\Pi=0,92$ .

Вариация параметрами привода в указанных пределах охватывает достаточно обширную область условий функционирования РК в системах промышленных пневмоприводов.

На рис. 3 в качестве иллюстрации приведены некоторые выборочные результаты численных решений на ЭВМ системы уравнений (1 – 10). Для удобства сравнения полученных результатов с результатами, приведенными в работе [1], в графиках на рис. 3 значение  $\tau$  приведено к базовой единице времени  $\tau_m$  [1], связь которой с единицей времени, используемой в данной работе, имеет вид:  $\tau_m = t_0 \sqrt{(k-1)/2}$ .

Анализ этих графиков позволяет установить следующее:

1. Максимальный выигрыш в транспортном времени срабатывания при замене пружинного РК клапаном с электроуправлением достигается при  $\Omega=0,3$  и  $\eta_2=0,25$ .
  2. При уменьшении  $\eta_2$  разница в транспортном и в полном времени срабатывания уменьшается.
  3. При увеличении параметра  $\Omega$  разница в транспортном времени срабатывания уменьшается, а в полном времени срабатывания возрастает.
  4. Если выигрыш в полном или транспортном времени срабатывания при установке РК с пропорциональным электроуправлением относить к транспортному или полному времени срабатывания, то наибольший эффект от установки РК с электроуправлением наблюдается при малых значениях  $\beta_1$ .
  5. При увеличении давления настройки РК (то есть при уменьшении параметров  $\sigma_m$  и  $\sigma_b$ ) эффект от установки РК с электроуправлением возрастает.
- Последнее иллюстрируется двумя последними графиками на рис. 3.

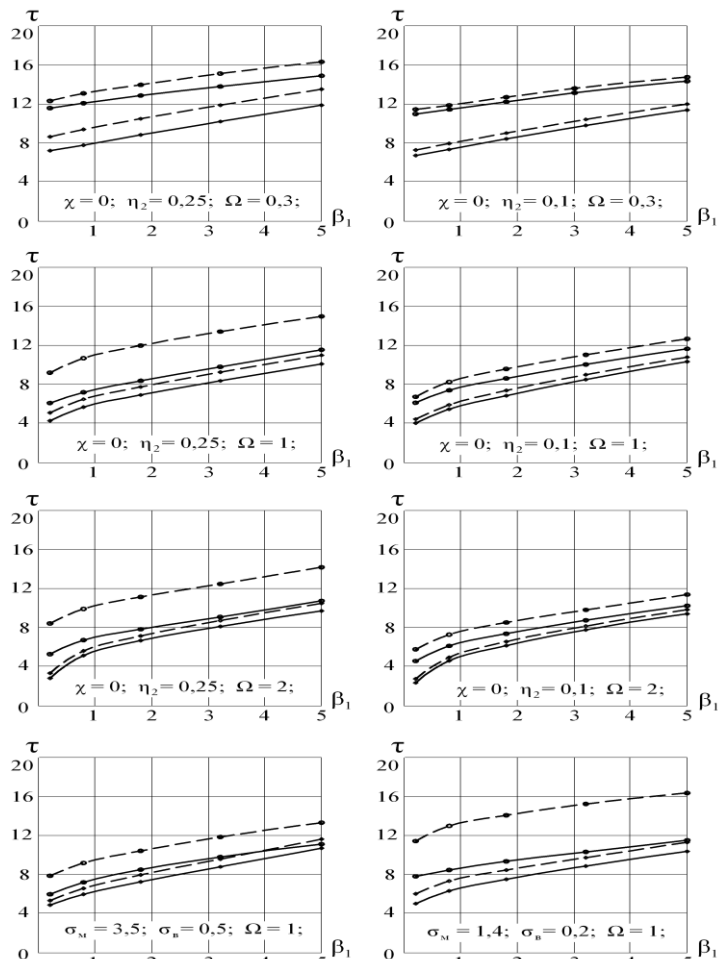


Рис. 3 – Графики зависимости безразмерного времени срабатывания пневмопривода, где установлен РК с пружинным и электрическим управлением, от конструктивных параметров

**Выводы.** РК с электроуправлением целесообразно использовать в прижимных пневмоприводах, где быстродействие определяется временем срабатывания по усилию. Эффект от установки РК с электроуправлением будет более высок при малых значениях  $\beta_1$ , больших значениях  $\eta_2$  и значениях  $\Omega = 0,75 \div 2$ . Например, при установке РК с пропорциональным электроуправлением разработанного ДСКТБ «Пневматика» (Симферополь) вместо РК с пружинным управлением БВ57-34 в системе пневмопривода машины точечной сварки МГ2518, у которого параметры  $\beta_1$ ,  $\eta_2$ ,  $\Omega$  удовлетворяют изложенным выше условиям, полное время срабатывания привода при сдвигении электродов уменьшалось в 1,5 – 2 раза. Это ведет к повышению производительности сварочного автомата на 20–25%.

**Список литературы:** 1. Герц Е. В. Расчет пневмоприводов. Справочное пособие. / Е. В. Герц, Г. В. Крейнин. – М.: Машиностроение, 1975. – 272 с. 2. Герц Е. В. формализация составления уравнений динамики сложных пневматических систем / Е. В. Герц, М. А. Полякова // В кн.: Пневматические приводы и системы управления. М.: Наука, 1971. – С. 26-35. 3. Кисельников В. Б. Пневматические приводы и аппаратура электросварочного оборудования / В. Б. Кисельников. – Л.: Машиностроение. Ленингр. Отд-ние, 1978. – 200 с.

Надійшла до редакції 12.11.2012

УДК 621.05

**Определение области рационального использования электропневматического преобразователя/ Г. А. Крутиков, М. Г. Стрижак // Вісник НТУ «ХПІ». Серія: Нові рішення в сучасних технологіях. – Х: НТУ «ХПІ», – 2012. - № 66 (972). – С. 41-46. – Бібліогр.:3 назв.**

У статті отримана універсальна математична модель, що відображає спільне функціонування пневмопривода й редукційного клапана, проведено розрахунки для приводів, де встановлений редукційний клапан з пружинним і з електричним керуванням.

**Ключові слова:** редукційний клапан, пропорційне керування, машина точкового зварювання, математична модель.

In this article, a universal mathematical model reflecting the joint functioning pneumatic pressure and relief valve, the calculations for the drive where you installed relief valve with spring and electric control.

**Keywords:** reducing valve, proportional management, car of spot welding, mathematical model.

УДК 681.527.3:623.438

**О. Є. СКВОРЧЕВСЬКИЙ**, канд. техн. наук, доц. НТУ «ХПІ»

## **ІМІТАЦІЙНЕ МОДЕЛЮВАННЯ ПРОЦЕСУ ПЕРЕМИКАННЯ МЕХАТРОННОГО МОДУЛЯ ЛІНІЙНОГО ПЕРЕМІЩЕННЯ ІЗ РЕЖИМУ ГІДРОСТОПОРІННЯ В РЕЖИМ РЕГУлювання**

Основною метою роботи було теоретичне обґрунтування можливості реалізації режимів гідростопоріння та регулювання мехатронного модуля, побудованого із використанням запатентованих електрогідравлічних перетворювачів. Для досягнення поставленої мети було проведено численне інтегрування нелінійної системи диференційних рівнянь, яка є математичною моделлю процесу перемикання модуля з одного режиму в інший. Характеристики переходного процесу мають достатньо високу якість.

**Ключові слова:** мехатронний модуль, електрогідравлічний перетворювач, жорстка нелінійна система диференційних рівнянь, переходний процес.

**Вступ. Постановка проблеми дослідження в загальному вигляді.** В сучасних мобільних машинах потрібний закон руху робочих органів (начіпного знаряддя трактора, ковша екскаватора, бурильної голівки бурової установки, стріли крану тощо) досягається завдяки раціональній комбінації кінематичних елементів та електрогідравлічних

© О. Є. СКВОРЧЕВСЬКИЙ, 2012